

语音识别预训练技术的发展和应用

曹松军

songjuncao@tencent.com

腾讯CSIG云小微

主要内容

- 一、语音识别简介
- 二、语音预训练技术
- 三、我们的进展和应用

腾讯云小微-产品技术生态



能力沉淀

垂直行业应用

智能家居

智能汽车

智慧金融

智慧政务

智慧教育

泛互

...

人机交互

对话机器人

AI语音助手

...

人机协同

智能客服

数智人

AI同传

...

语音语义AI底层能力

对话输入与前端处理

ASR语音识别

NLP语义理解

TTS

能力迁移

云小微：打造更自然、更智能的交互智能产品

腾讯云小微-语音助手应用

覆盖场景



应用行业

家居

40+ 高频技能智能家居服务场景
3.5亿+ 激活设备数
已与业内超 60% 品牌和机型合作

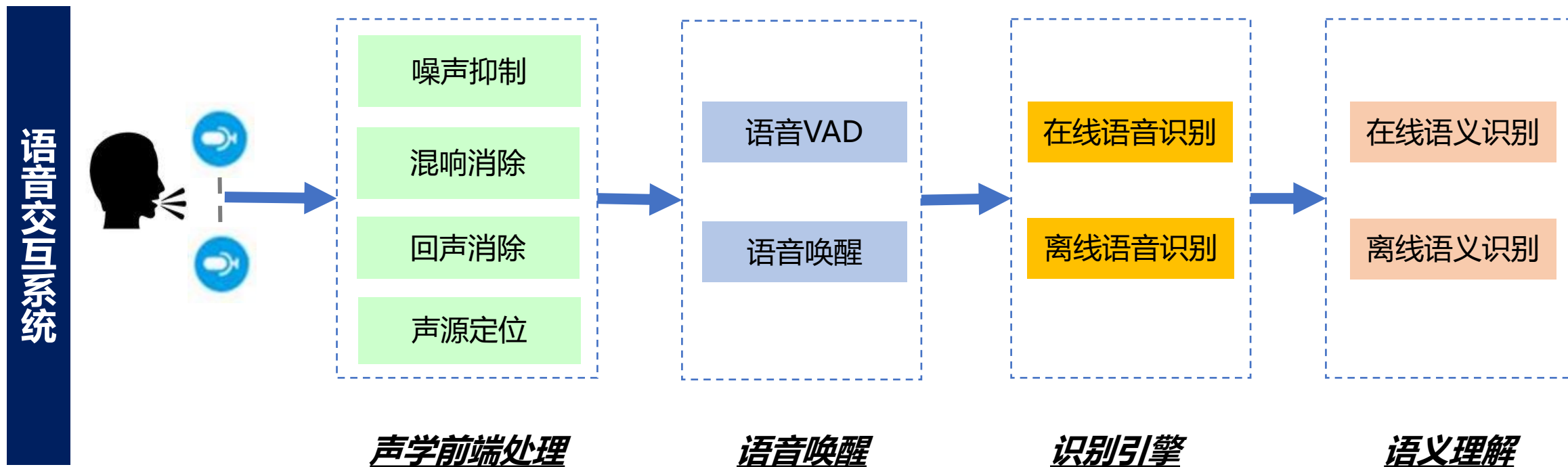
汽车

34家 主流汽车品牌
160款 量产车型落地
累计落地车辆总数超过 200万辆

合作客户



语音助手中的ASR技术



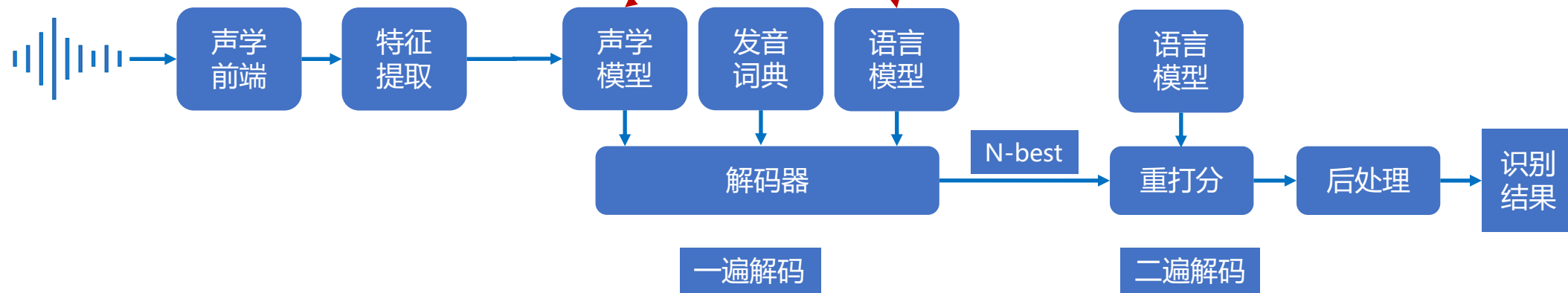
自动语音识别技术(automatic speech recognition), 可以简称为ASR, 在语音交互过程中, ASR技术模块负责将用户的语音转化为文本, 转化得到的文本会传给下游的NLP技术模块做语义理解, 所以ASR模块的识别效果对整个语音交互的体验至关重要。

ASR-技术架构

系统架构

$$\hat{W} = \arg \max P(W|O) = \arg \max (P(O|W)P(W)) / (P(O))$$
$$\hat{W} = \arg \max P(O|W) P(W)$$

O : 观察值序列 (语音特征)
 \hat{W} : 最优词序列 (解码结果)
 $P(O|W)$: 由声学模型获得
 $P(W)$: 由语言模型获得



评价指标

- ✓ 字错误率 (Character Error Rate, CER) = 识别错误字数 / 测试集中总字数
- ✓ 句错误率 (Sentence Error Rate, SER) = 识别错误的句子数 / 测试集中总句子数
- ✓ 句正确率 (Sentence Accuracy) = 识别正确的句子数 / 测试集中总句子数 = 1 - SER

ASR-发展阶段

| | | | | | |
|------|---------------------|---------------------|--------------|---------------------------|----------------------|
| 关键技术 | DTW VQ HMM | GMM-HMM | DNN-HMM | CTC RNN-T Attention | Wav2vec2.0 Hubert |
| 发展时期 | 1950s-1980s 早期探索 | 1990s-2010s 统计模型 | 2012 深度学习 | 2015 端到端模型 | 2020 预训练模型 |

Hybrid建模

端到端建模

ASR-hybrid建模



1.特征抽取

时域点->频谱特征

2.1声学模型-DNN

计算 $p(\text{状态}|\text{特征})$

2.2声学模型-HMM

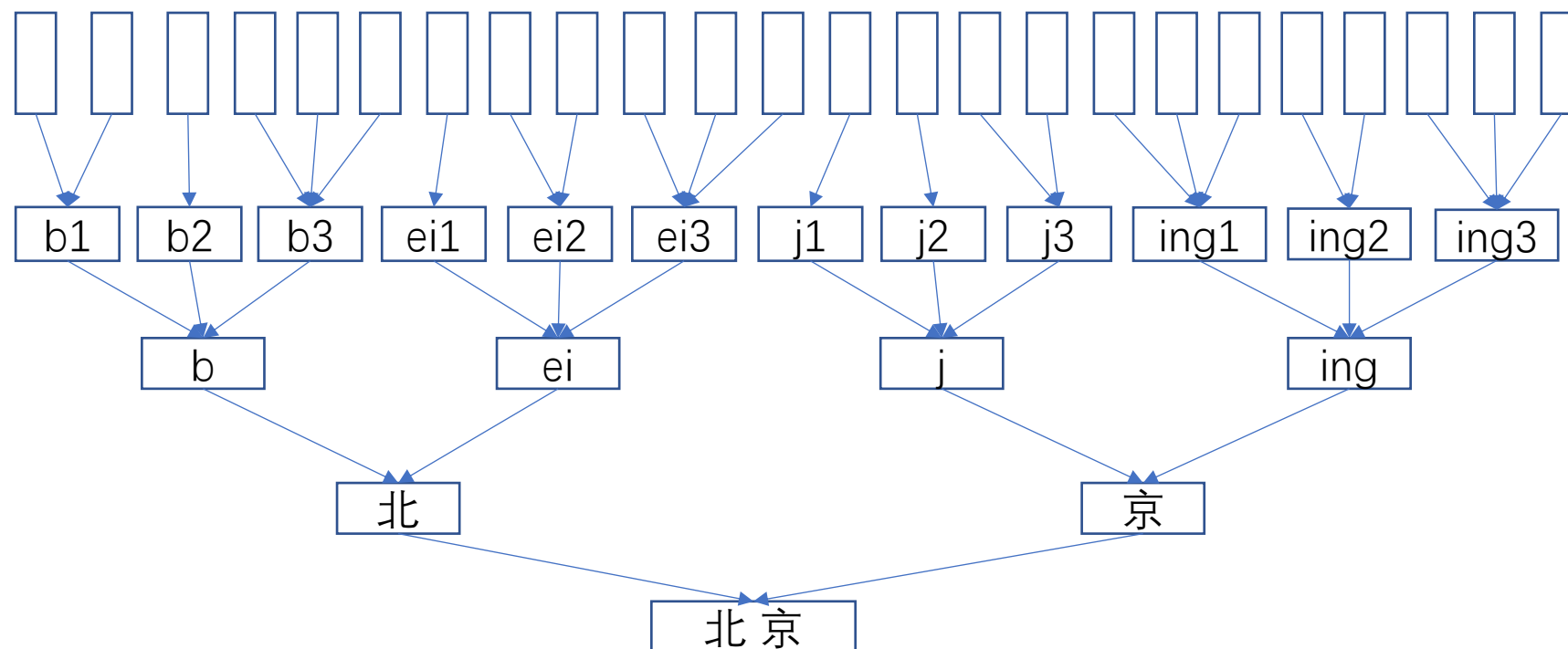
状态->音素

3.发音词典

音素->词

4.语言模型

词->句子



建模到HMM的状态

ASR-hybrid建模

问题1：每一帧对应一个HMM状态，拆分科学吗？

- 语音过渡地带

问题2：训练流程复杂？

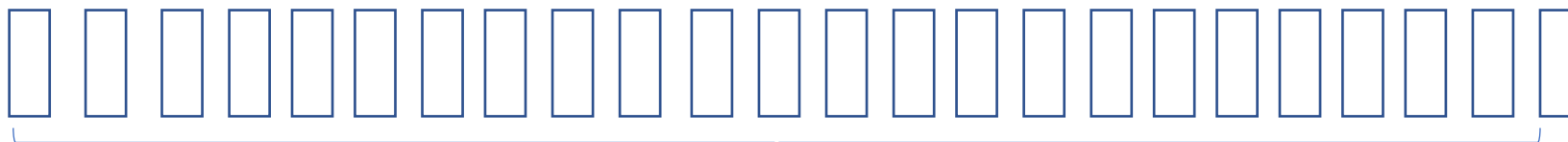
- 第一步，训练hmm-gmm
- 第二步，使用hmm-gmm来做对齐获取每一帧特征的label
- 第三步，训练帧到label的鉴别模型

问题3：独立性假设？

- 每一帧的输出只跟当前帧有关，跟上一帧的输出无关

ASR-端到端建模

1. 特征抽取
时域点 -> 频谱特征



2. 端到端建模
计算 $p(\text{音素}|\text{特征})$



3. 发音词典
音素 -> 词



4. 语言模型
词 -> 句子

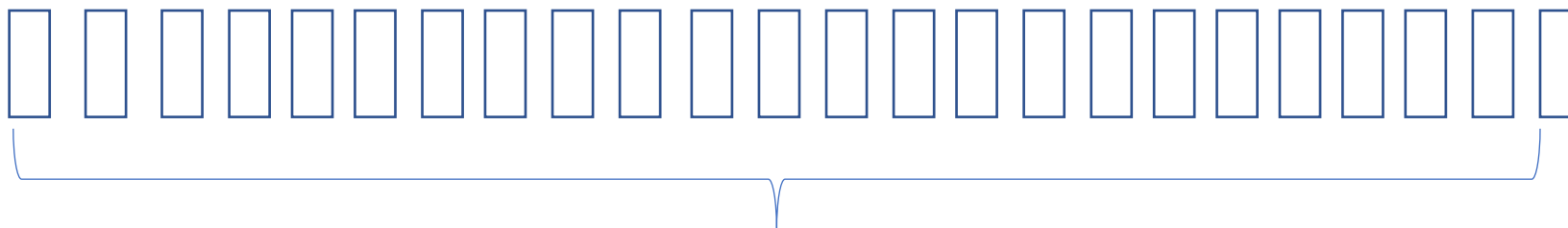


没有HMM，直接建模到音素，需要词典映射为汉字

ASR-端到端建模

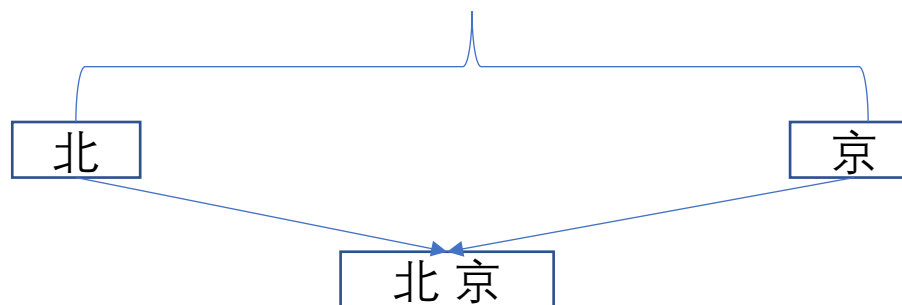
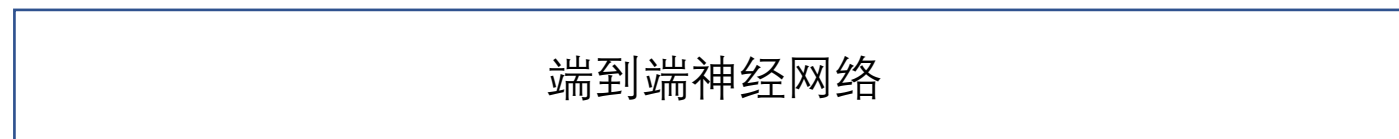
1. 特征抽取

时域点 -> 频谱特征



2. 端到端建模

计算 $p(\text{词}|\text{特征})$



3. 语言模型

词 -> 句子

没有HMM，不需要词典，直接建模到汉字

ASR-端到端建模

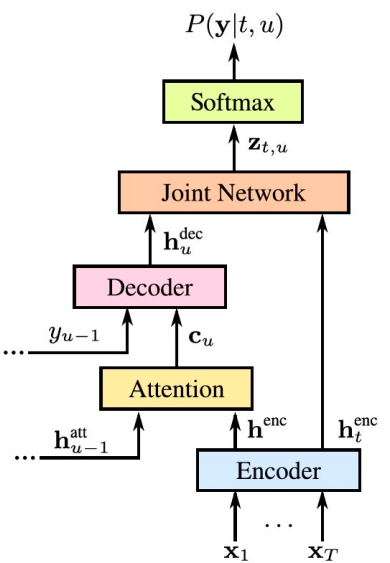
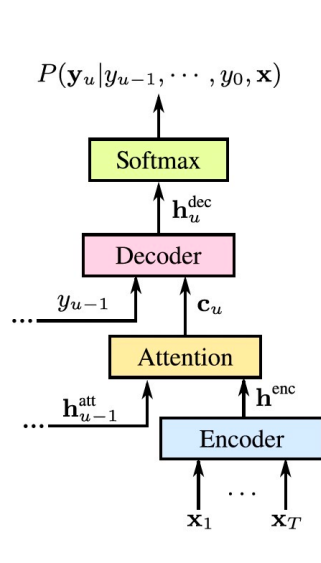
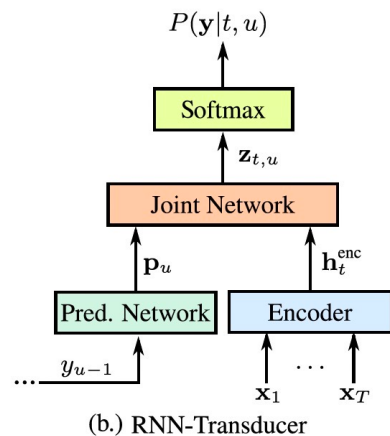
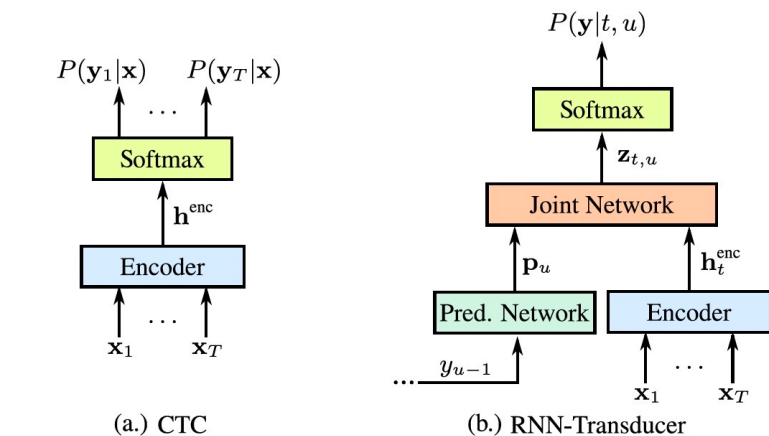


Table 1: WERs (%) on various test sets for the models compared in this work. The attention-based model with two decoder layers is the single best sequence-to-sequence model.

| Model | Clean | | Noisy | | numeric |
|---------------------------|------------|-------------|------------|-------------|------------|
| | dict | vs | dict | vs | |
| Baseline Uni. CDP | 6.4 | 9.9 | 8.7 | 14.6 | 11.4 |
| Baseline BiDi. CDP | 5.4 | 8.6 | 6.9 | - | 11.4 |
| End-to-end systems | | | | | |
| CTC-grapheme ³ | 39.4 | 53.4 | - | - | - |
| RNN Transducer | 6.6 | 12.8 | 8.5 | 22.0 | 9.9 |
| RNN Trans. with att. | 6.5 | 12.5 | 8.4 | 21.5 | 9.7 |
| Att. 1-layer dec. | 6.6 | 11.7 | 8.7 | 20.6 | 9.0 |
| Att. 2-layer dec. | 6.3 | 11.2 | 8.1 | 19.7 | 8.7 |

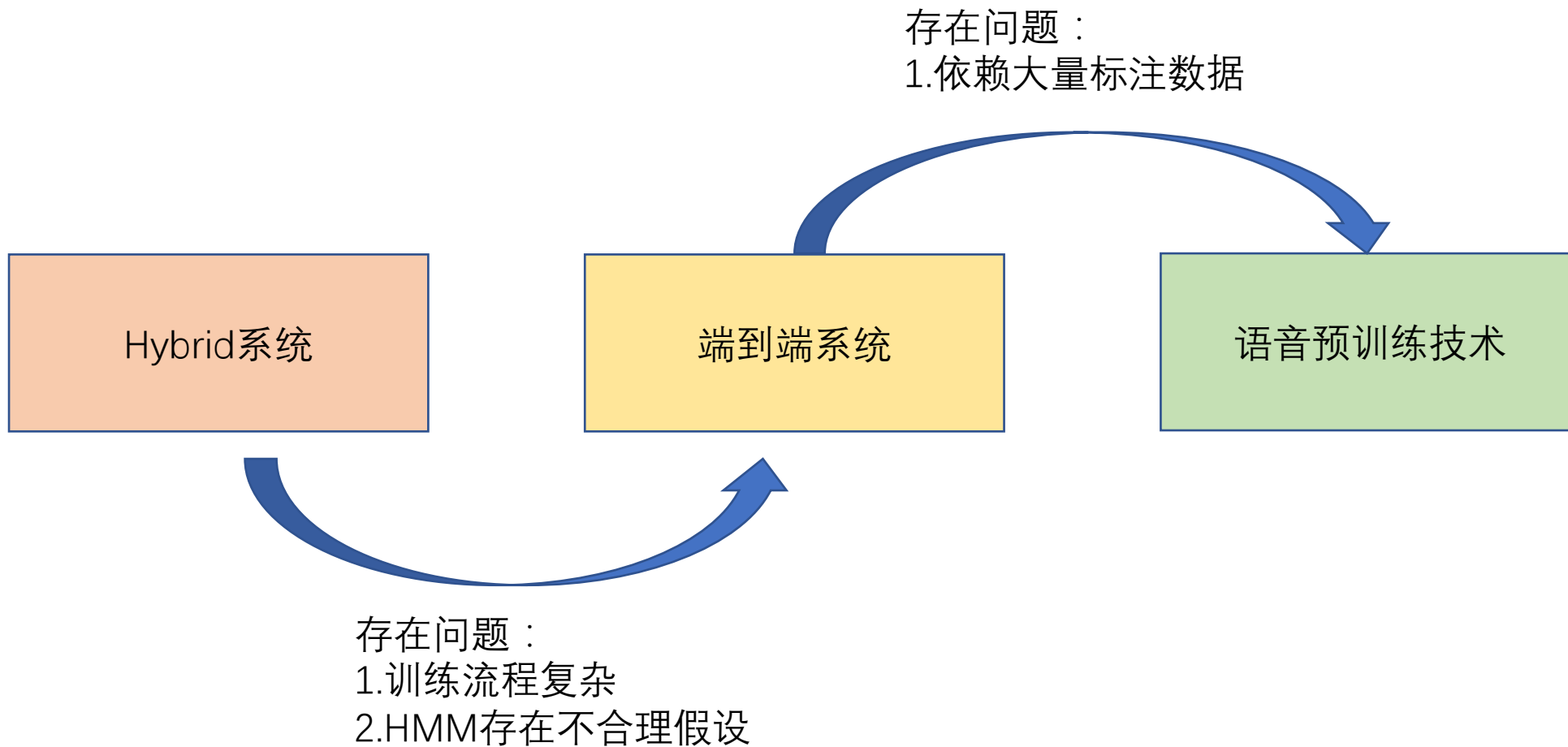
Hybrid

End2end

相比hybrid传统方案，端到端建模有以下特点：

- 训练简单，直接seq2seq进行训练
- Attention/Transducer loss修正了输出独立性假设
- 对标注数据量要求比较多??

ASR-建模总结



主要内容

- 一、语音识别简介
- 二、语音预训练技术
- 三、我们的进展和应用

NLP背景

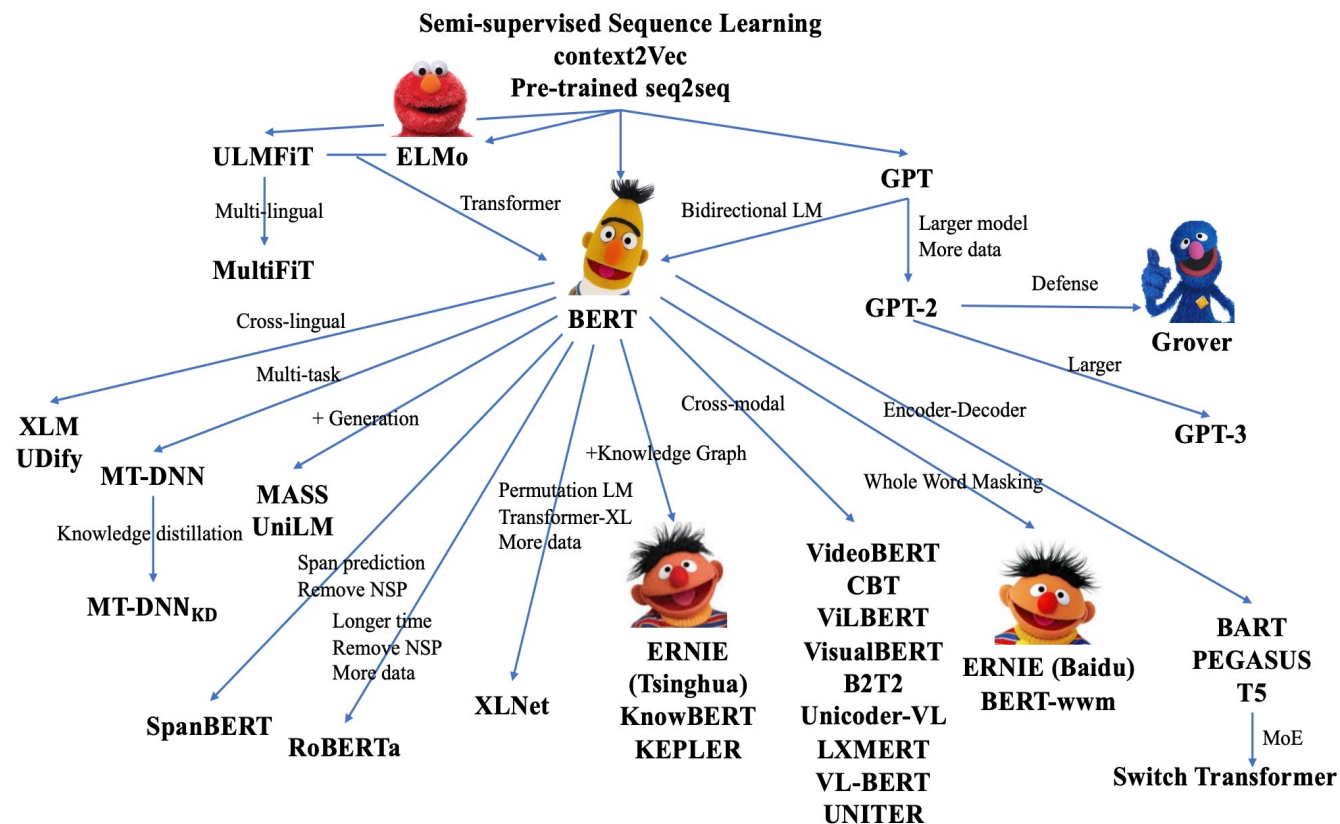


Figure 9: The family of recent typical PTMs, including both pre-trained language models and multimodal models.

预训练模型使用范式：

1. Feature-transfer

使用无监督数据预训练网络，预训练的网络当做特征提取器，为下游的有监督任务提供特征，如ELMo、GloVe

2. Parameter-transfer

使用无监督数据预训练网络，预训练的网络增加新的线性层和loss，进行下游的有监督任务训练，比如BERT、GPT、BART

预训练常用的目标函数：

1. LM (GPT/ELMo)：

$$\mathcal{L}(\mathcal{X}) = \sum_{i=1}^{n+1} \log P(x_i | x_{i-k}, \dots, x_{i-1}; \Theta),$$

2. MLM (BERT/BART)：

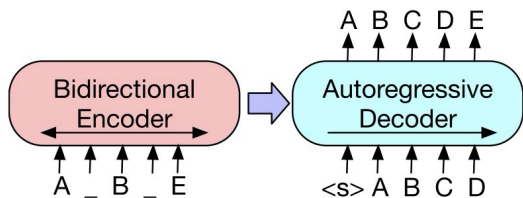
$$\mathcal{L}(\mathcal{X}) = \sum_{i=1}^m \log P([\text{Mask}]_i = y_i | \tilde{\mathcal{X}}; \Theta),$$

NLP背景



(a) BERT: Random tokens are replaced with masks, and the document is encoded bidirectionally. Missing tokens are predicted independently, so BERT cannot easily be used for generation.

(b) GPT: Tokens are predicted auto-regressively, meaning GPT can be used for generation. However words can only condition on leftward context, so it cannot learn bidirectional interactions.



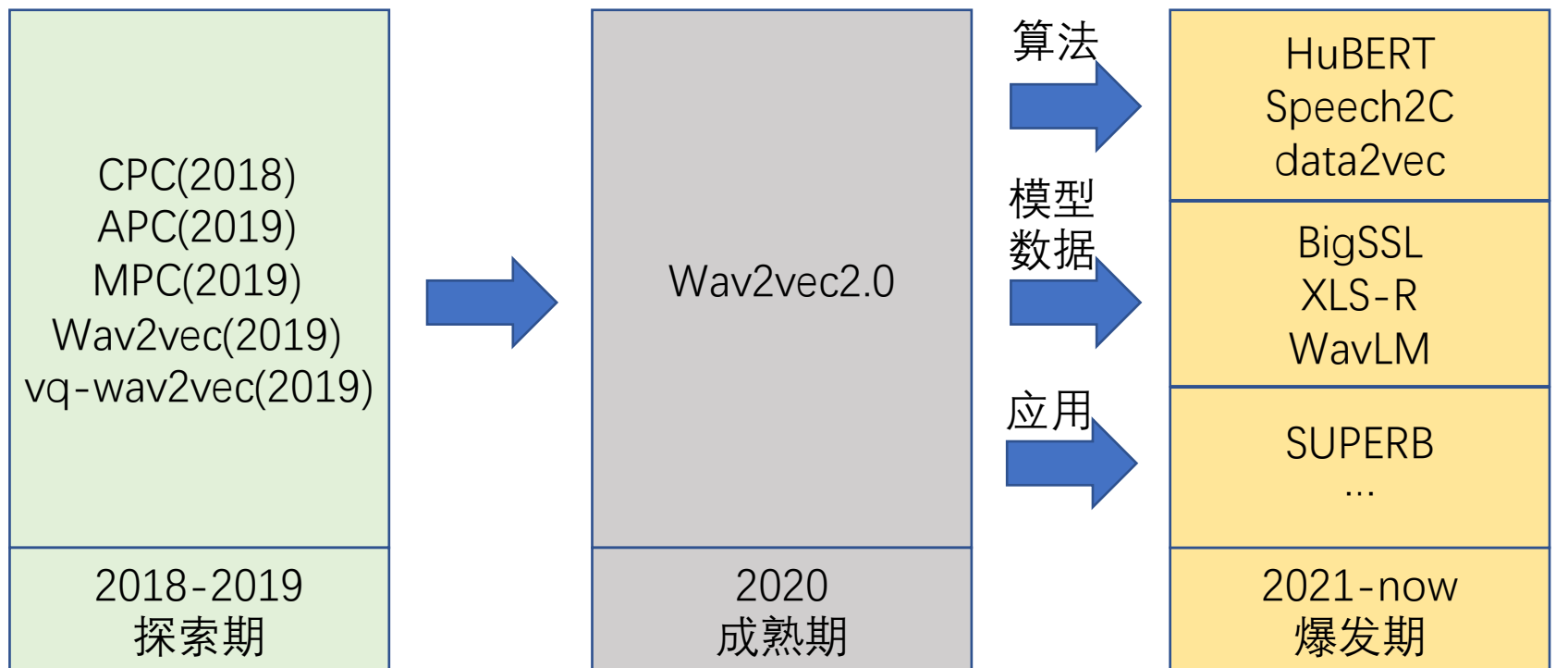
(c) BART: Inputs to the encoder need not be aligned with decoder outputs, allowing arbitrary noise transformations. Here, a document has been corrupted by replacing spans of text with mask symbols. The corrupted document (left) is encoded with a bidirectional model, and then the likelihood of the original document (right) is calculated with an autoregressive decoder. For fine-tuning, an uncorrupted document is input to both the encoder and decoder, and we use representations from the final hidden state of the decoder.

三种NLP预训练模型对比的示意图

| 模型 | 使用范式 | 网络 |
|------|--------------------|----------------------------------|
| GPT | Parameter-transfer | Masked transformer |
| BERT | Parameter-transfer | 双向transformer |
| BART | Parameter-transfer | Encoder (双向网络) Decoder (单向网络) |

NLP预训练模型的使用范式、网络

发展阶段

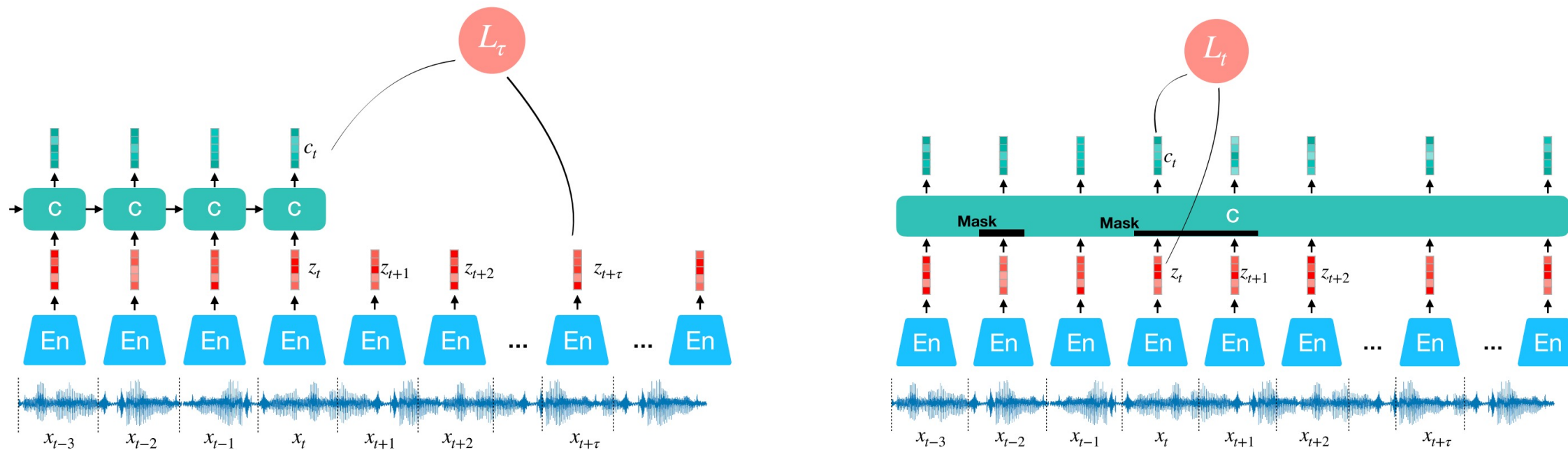


相比baseline系统，还没有取得理想的效果

在已有公开数据集取得SOTA结果，大幅优于已有baseline

成为业界主流架构
在多个方向快速演进

探索期-APC/MPC



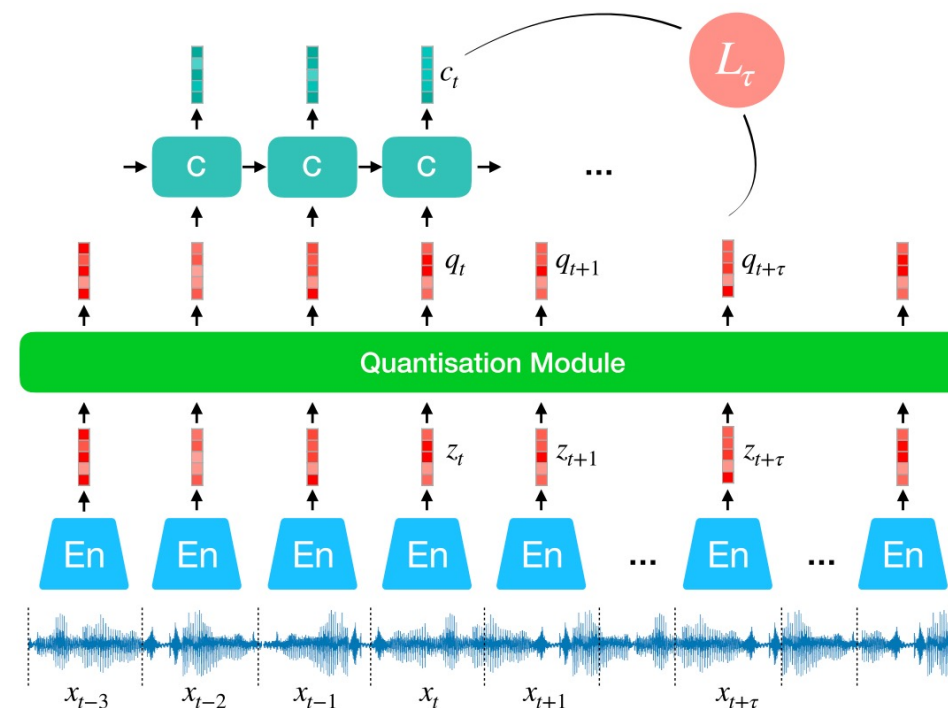
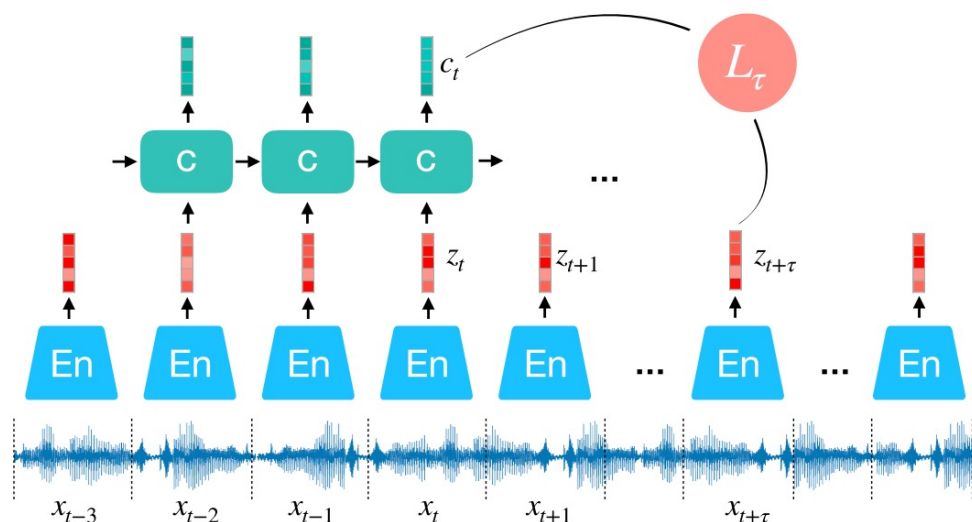
| | 输入 | 输出 | 主要网络 | Loss | 特点 |
|----------|---------|-----------------|-------------|------|---------|
| APC (左图) | Fbank特征 | 未来 $t + \tau$ 帧 | RNN | L1 | 类似于GPT |
| MPC (右图) | Fbank特征 | Masked帧 | transformer | MLM | 类似于BERT |

"An unsupervised autoregressive model for speech representation learning." *arXiv preprint arXiv:1904.03240* (2019).

"Improving transformer-based speech recognition using unsupervised pre-training." *arXiv preprint arXiv:1910.09932* (2019).

"Audio self-supervised learning: A survey." *arXiv preprint arXiv:2203.01205* (2022).

探索期-wav2vec



$$\mathcal{L}_k^{\text{wav2vec}} = - \sum_{i=1}^{T-k} \left(\log \sigma(\mathbf{z}_{i+k}^\top h_k(\mathbf{c}_i)) + \lambda \mathbb{E}_{\tilde{\mathbf{z}} \sim p_n} [\log \sigma(-\tilde{\mathbf{z}}^\top h_k(\mathbf{c}_i))] \right)$$

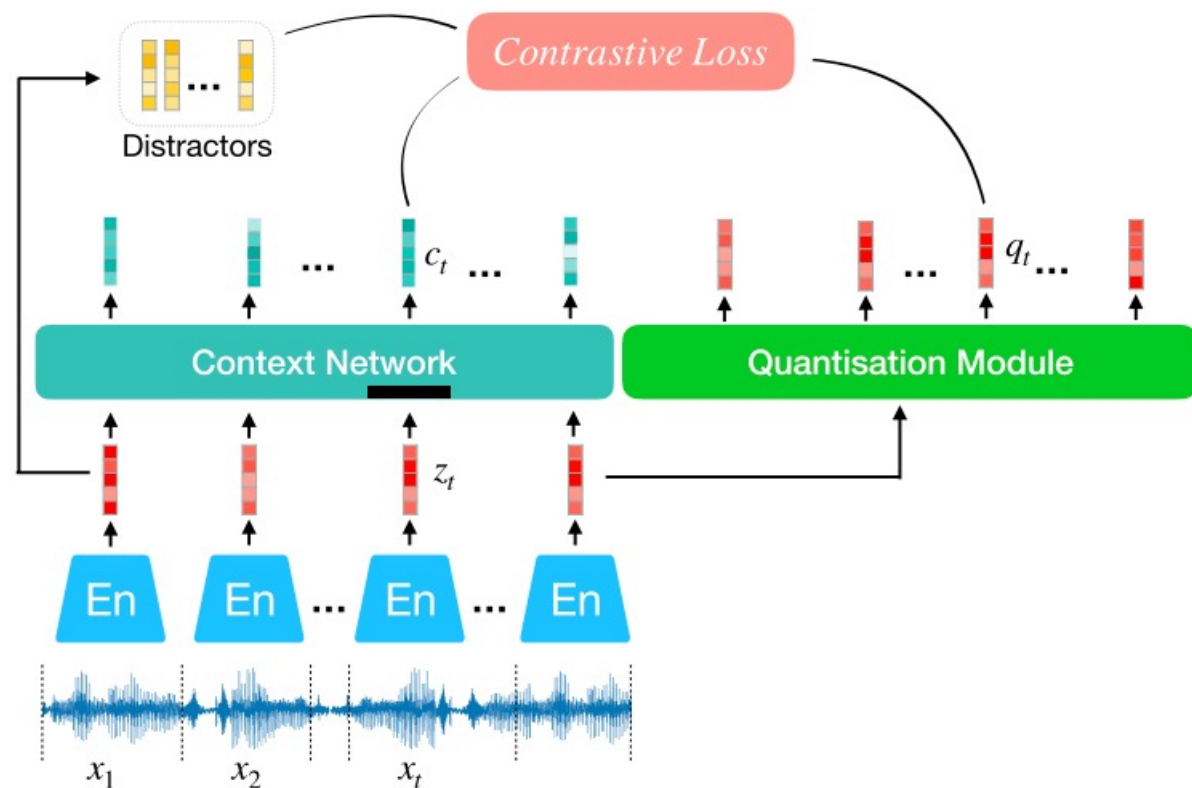
contrastive loss : \mathbf{z}_{i+k} 对应正样本, p_n 对应负样本集合

| | 输入 | 输出 | 主要网络 | Loss | 特点 |
|-----------------|------|-----------------|--------|------------------|--------|
| wav2vec (左图) | wave | 未来 $t + \tau$ 帧 | CNN | Contrastive loss | 预测未来的帧 |
| vq-wav2vec (右图) | wave | 未来 $t + \tau$ 帧 | CNN+量化 | Contrastive loss | 分成两阶段 |
| | 量化特征 | Masked帧 | BERT | MLM loss | |

"vq-wav2vec: Self-supervised learning of discrete speech representations." *arXiv preprint arXiv:1910.05453* (2019).

"wav2vec: Unsupervised pre-training for speech recognition." *arXiv preprint arXiv:1904.05862* (2019).

成熟期-wav2vec 2.0



网络分成三部分：

1. Encoder：将语音输入转化为特征序列
2. Context Network：将输入特征进行编码抽象
3. Quantisation Module：将目标进行离散化

Contrastive loss：

1. q_t 表示正样本， \tilde{q} 表示负样本
2. $sim()$ 表示两个向量的cos距离

$$\mathcal{L}_m = -\log \frac{\exp(sim(\mathbf{c}_t, \mathbf{q}_t))/\kappa}{\sum_{\tilde{\mathbf{q}} \sim \mathbf{Q}_t} \exp(sim(\mathbf{c}_t, \tilde{\mathbf{q}}))/\kappa}$$

Masking：

1. Encoder的输出做mask作为context网络的输入
2. 采取分段连续masking策略，整体占比49%

成熟期-wav2vec 2.0

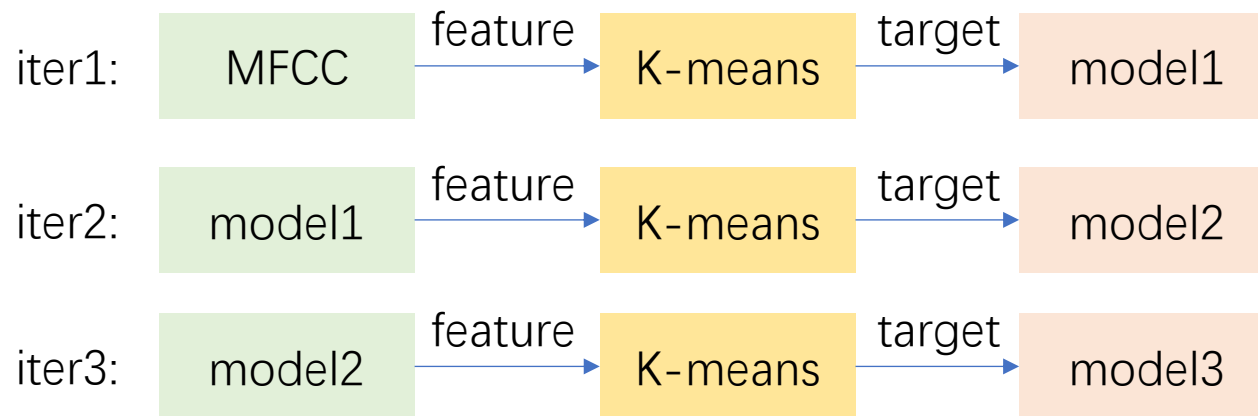
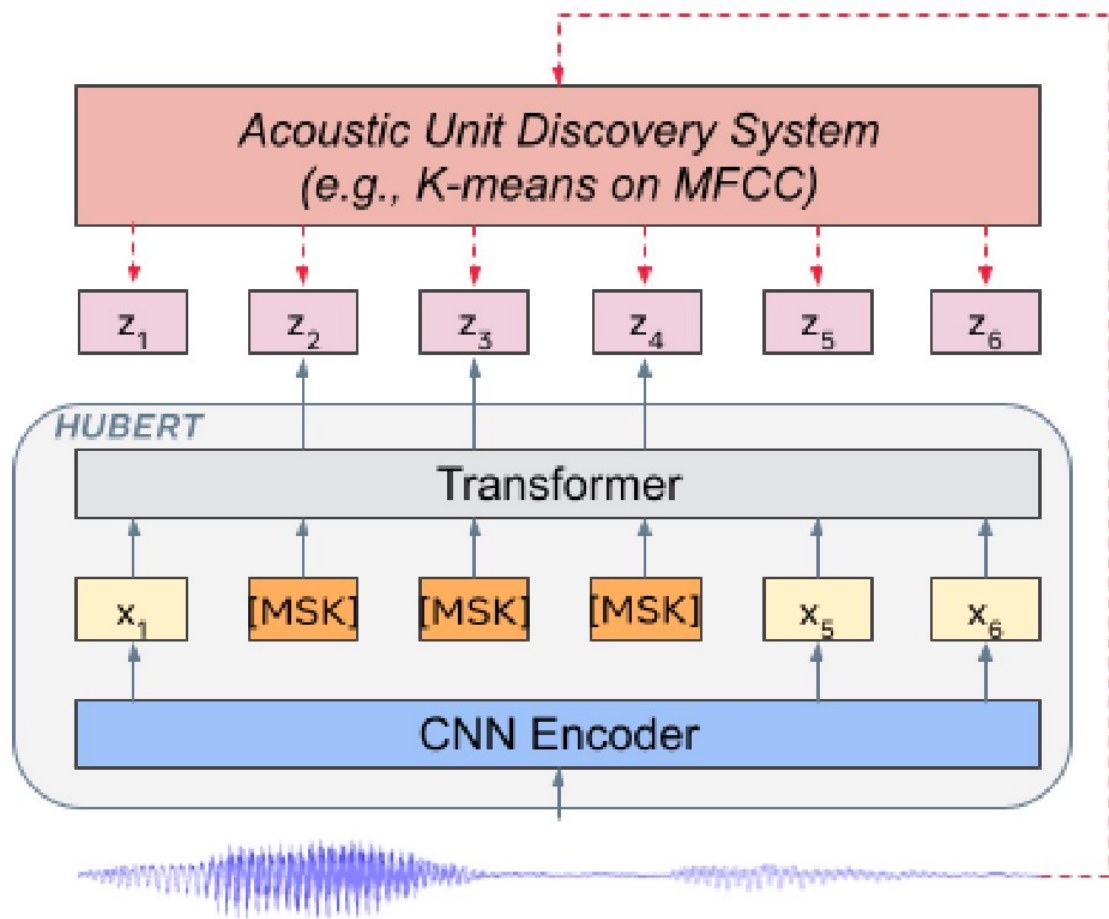
| 1h labeled | | | | | | | |
|----------------------------|---------|----------------|------|------|------|------|-----------------|
| Discrete BERT [4] | LS-960 | 4-gram | 8.5 | 16.4 | 9.0 | 17.6 | |
| BASE | LS-960 | 4-gram | 5.0 | 10.8 | 5.5 | 11.3 | |
| | | Transf. | 3.8 | 9.0 | 4.0 | 9.3 | |
| LARGE | LS-960 | Transf. | 3.8 | 7.1 | 3.9 | 7.6 | → 1小时结果 |
| | LV-60k | Transf. | 3.3 | 6.4 | 3.4 | 6.8 | |
| 100h labeled | | | | | | | |
| Hybrid DNN/HMM [33] | - | 4-gram | 5.0 | 19.5 | 5.8 | 18.6 | |
| TTS data augm. [29] | - | LSTM | | | 4.3 | 13.5 | |
| Discrete BERT [4] | LS-960 | 4-gram | 4.0 | 10.9 | 4.5 | 12.1 | |
| Iter. pseudo-labeling [56] | LS-860 | 4-gram+Transf. | 5.0 | 8.72 | 5.37 | 9.51 | |
| Iter. pseudo-labeling [56] | +LV-60k | 4-gram+Transf. | 3.19 | 6.14 | 3.72 | 7.11 | → 100小时baseline |
| Noisy student [41] | LS-860 | LSTM | 3.9 | 8.8 | 4.2 | 8.6 | |
| BASE | LS-960 | 4-gram | 2.7 | 7.9 | 3.4 | 8.0 | |
| | | Transf. | 2.2 | 6.3 | 2.6 | 6.3 | |
| LARGE | LS-960 | Transf. | 2.1 | 4.8 | 2.3 | 5.0 | → 100小时结果 |
| | LV-60k | Transf. | 2.0 | 4.1 | 2.1 | 4.4 | |

Wav2vec2.0 在语音识别任务上面的实验结果：

- 在Librispeech公开数据集的100小时任务上面取得了SOTA的结果，明显优于之前的工作
- 只使用了1小时的标注数据，wav2vec 2.0的结果就可以优于之前100小时标注数据的最好结果

wav2vec 2.0工作发挥了预训练在语音任务的威力，大幅降低了对标注数据的依赖

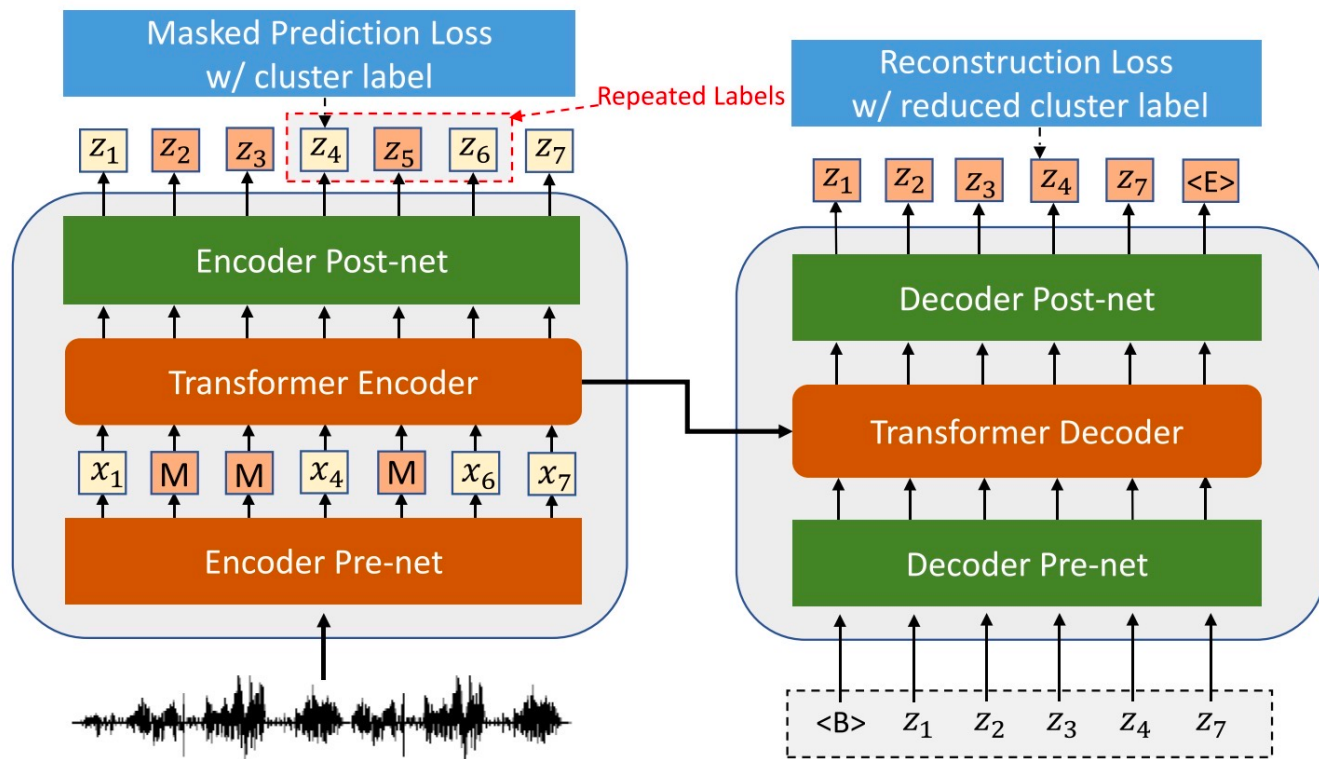
爆发期-算法方向-HuBERT



| | | <i>100-hour labeled</i> | | | | |
|-----------------------|--------|-------------------------|------|------|------|------|
| IPL [12] | LL-60k | 4-gram + Transformer | 3.19 | 6.14 | 3.72 | 7.11 |
| SlimIPL [54] | LS-860 | 4-gram + Transformer | 2.2 | 4.6 | 2.7 | 5.2 |
| Noisy Student [61] | LS-860 | LSTM | 3.9 | 8.8 | 4.2 | 8.6 |
| DeCoAR 2.0 [50] | LS-960 | 4-gram | - | - | 5.0 | 12.1 |
| DiscreteBERT [51] | LS-960 | 4-gram | 4.0 | 10.9 | 4.5 | 12.1 |
| wav2vec 2.0 BASE [6] | LS-960 | 4-gram | 2.7 | 7.9 | 3.4 | 8.0 |
| wav2vec 2.0 LARGE [6] | LL-60k | Transformer | 1.9 | 4.0 | 2.0 | 4.0 |
| HUBERT BASE | LS-960 | 4-gram | 2.7 | 7.8 | 3.4 | 8.1 |
| HUBERT LARGE | LL-60k | Transformer | 1.8 | 3.7 | 2.1 | 3.9 |
| HUBERT X-LARGE | LL-60k | Transformer | 1.7 | 3.0 | 1.9 | 3.5 |

HuBERT整体上跟NLP领域的BERT模型非常相似，在Librispeech 100h任务上效果上来讲跟wav2vec2.0相当

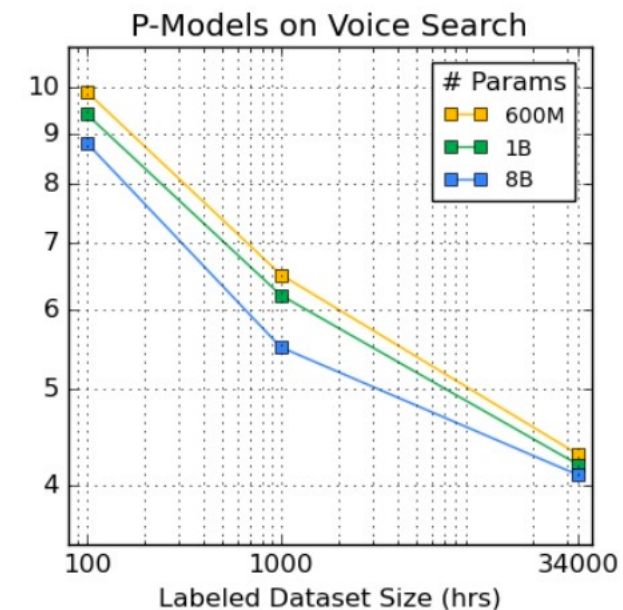
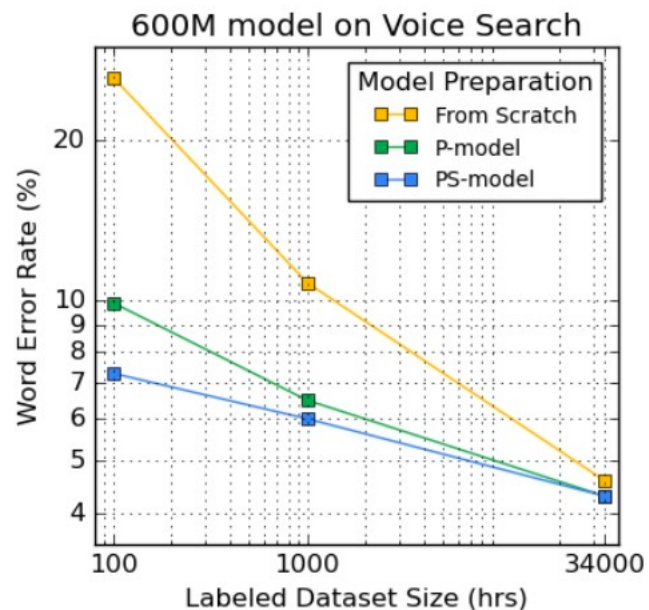
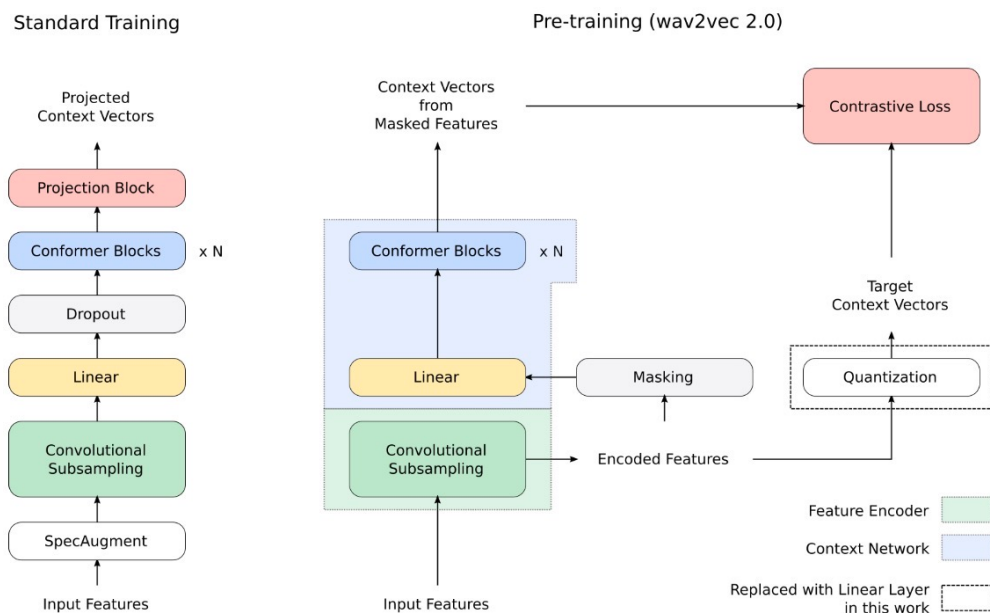
爆发期-算法方向-Speech2C



| <i>100 hours subset</i> | | | |
|-------------------------|--------|------------|------------|
| wav2vec2.0 BASE [11] | None | 6.1 | 13.3 |
| wav2vec2.0 LARGE [11] | None | 4.7 | 9.0 |
| HuBERT BASE † [12] | None | 6.3 | 13.2 |
| SpeechT5 [15] | None | 4.4 | 10.4 |
| Baseline | None | 5.0 | 11.9 |
| Our Speech2C | None | 4.3 | 9.0 |
| <hr/> | | | |
| wav2vec2.0 BASE [11] | 4-gram | 3.4 | 8.0 |
| wav2vec2.0 BASE [11] | Transf | 2.6 | 6.3 |
| wav2vec2.0 LARGE [11] | Transf | 2.3 | 5.0 |
| HuBERT BASE [12] | 4-gram | 3.4 | 8.1 |
| SpeechT5 [15] | Transf | 2.4 | 5.8 |
| Baseline | Transf | 2.5 | 6.3 |
| Our Speech2C | Transf | 2.4 | 5.2 |

之前的预训练模型主要基于encoder来做，**Speech2C**在HuBERT基础上尝试基于encoder-decoder架构来做预训练，在Librispeech 100h任务上取得了明显的提升，类似于NLP领域的**BART模型**。

爆发期-数据模型方向-BigSSL



Google的BigSSL探索了预训练技术在**超大规模数据集（100万小时无标注数据）**和**超大规模模型参数（8B）**的效果。表格里面的P-model表示只使用pre-training，PS-model表示使用pre-training和self-training

- 第一个表格：随着标注数据量的增大，预训练的优势会越来越小，在34万小时标注数据的情况下相差不大
- 第二个表格：模型参数量越大，效果越好
- 谷歌没有把预训练模型和数据开源

爆发期-数据模型方向-Xlsr

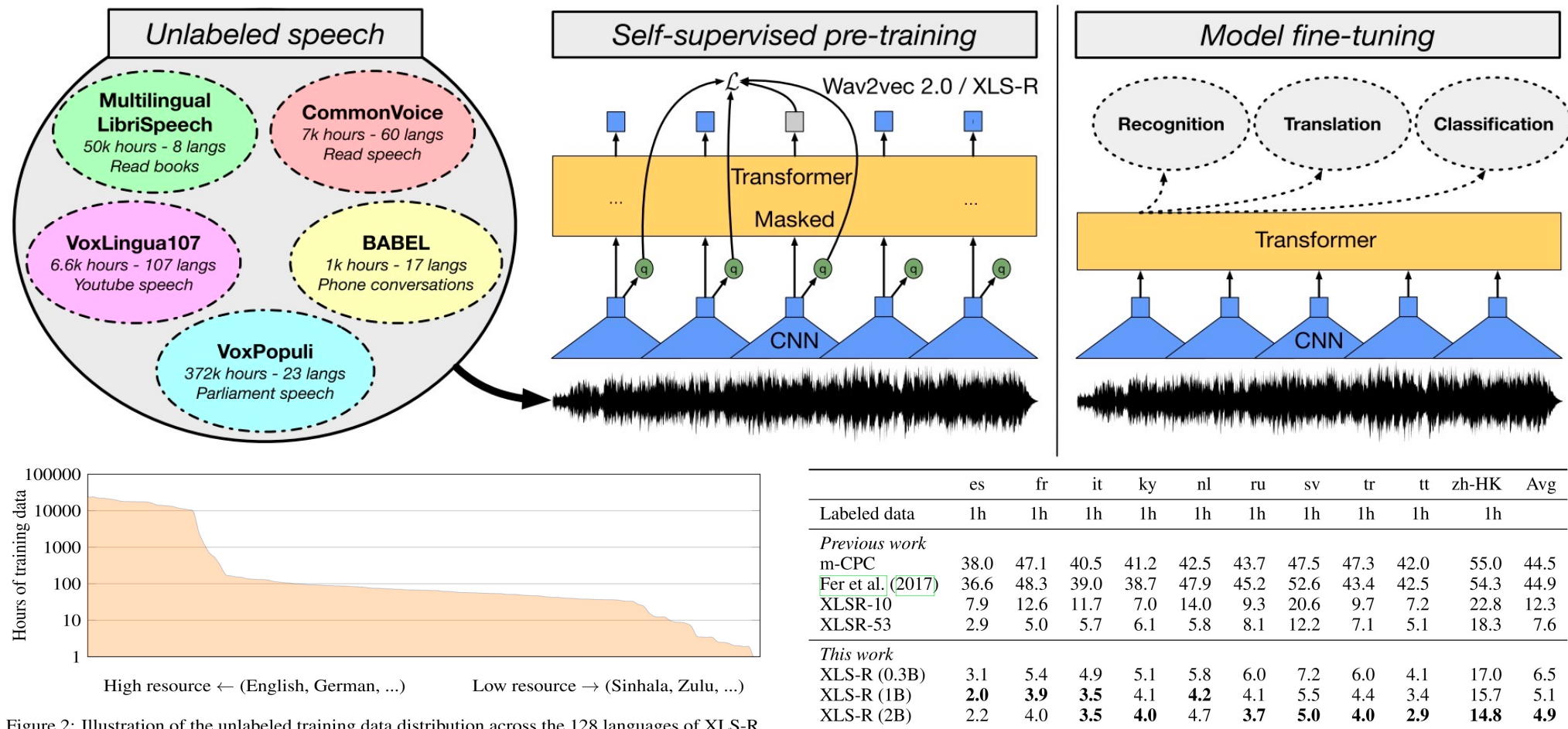
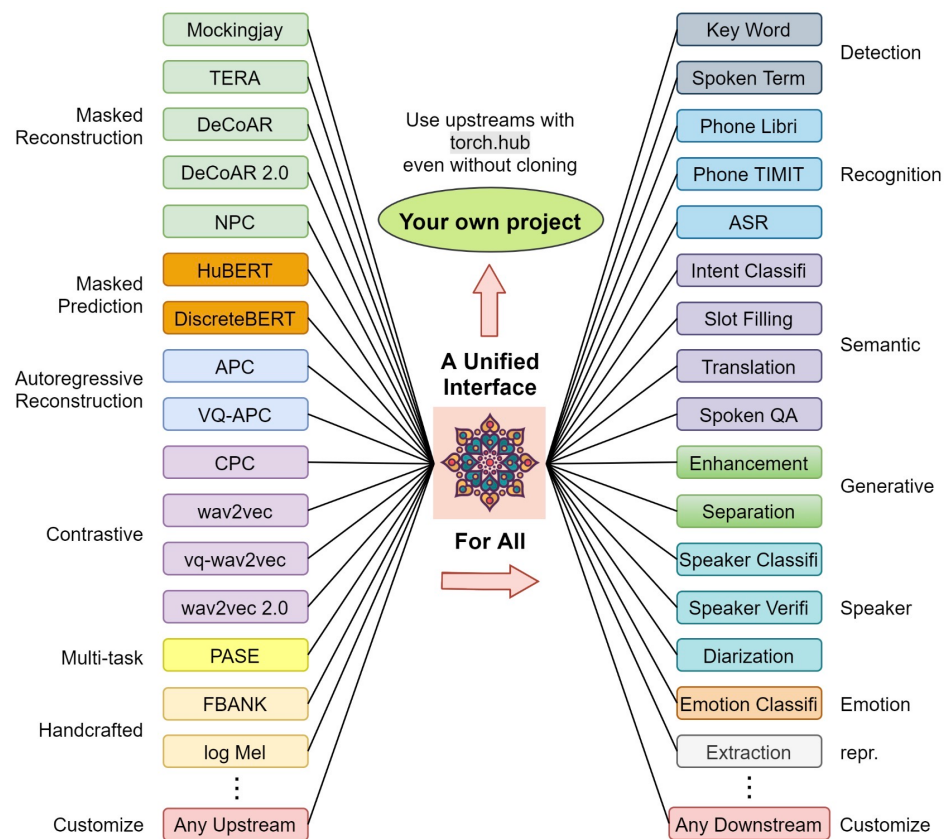


Figure 2: Illustration of the unlabeled training data distribution across the 128 languages of XLS-R.

Meta AI关于多语种预训练的工作XLS-R，预训练数据来自于128个语种，合计43.6万小时，在公开数据集common voice上面取得了大幅提升，代码和模型已经开源：

<https://github.com/facebookresearch/fairseq/blob/main/examples/wav2vec/xlsr/README.md>

爆发期-应用方向



* The four columns (1)~(4) correspond to the macs calculated with short, medium, long, longer bucket respectively

| Method | Rank ↑ | Score ↑ | PR ↓ | KS ↑ | IC ↑ | SID ↑ | ER ↑ | ASR ↓ | QbE ↑ | SF-F1 ↑ | SF-CER ↓ | SV ↓ | SD ↓ |
|-------------------|--------|---------|-------|-------|-------|-------|-------|-------|-------|---------|----------|-------|-------|
| WavLM Large | 19.9 | 1145 | 3.06 | 97.86 | 99.31 | 95.49 | 70.62 | 3.44 | 8.86 | 92.21 | 18.36 | 3.77 | 3.24 |
| WavLM Base+ | 18.7 | 1106 | 3.92 | 97.37 | 99 | 89.42 | 68.65 | 5.59 | 9.88 | 90.58 | 21.2 | 4.07 | 3.5 |
| WavLM Base | 16.9 | 1019 | 4.84 | 96.79 | 98.63 | 84.51 | 65.94 | 6.21 | 8.7 | 89.38 | 22.86 | 4.69 | 4.55 |
| HuBERT Large | 15.8 | 919 | 3.53 | 95.29 | 98.76 | 90.33 | 67.62 | 3.62 | 3.53 | 89.81 | 21.76 | 5.98 | 5.75 |
| wav2vec 2.0 Large | 15.4 | 914 | 4.75 | 96.66 | 95.28 | 86.14 | 65.64 | 3.75 | 4.89 | 87.11 | 27.31 | 5.65 | 5.62 |
| HuBERT Base | 15.25 | 941 | 5.41 | 96.3 | 98.34 | 81.42 | 64.92 | 6.42 | 7.36 | 88.53 | 25.2 | 5.11 | 5.88 |
| LightHuBERT Small | 13.95 | 901 | 6.6 | 96.07 | 98.23 | 69.7 | 64.12 | 8.34 | 7.64 | 87.58 | 26.9 | 5.42 | 5.85 |
| FaST-VGS+ | 13.15 | 809 | 7.76 | 97.27 | 98.97 | 41.34 | 62.71 | 8.83 | 5.62 | 88.15 | 27.12 | 5.87 | 6.05 |
| wav2vec 2.0 Base | 12.35 | 818 | 5.74 | 96.23 | 92.35 | 75.18 | 63.43 | 6.43 | 2.33 | 88.3 | 24.77 | 6.02 | 6.08 |
| DistilHuBERT | 11.2 | 717 | 16.27 | 95.98 | 94.99 | 73.54 | 63.02 | 13.37 | 5.11 | 82.57 | 35.59 | 8.55 | 6.19 |
| DeCoAR 2.0 | 10.6 | 722 | 14.93 | 94.48 | 90.8 | 74.42 | 62.47 | 13.02 | 4.06 | 83.28 | 34.73 | 7.16 | 6.59 |
| wav2vec | 8.9 | 529 | 31.58 | 95.59 | 84.92 | 56.56 | 59.79 | 15.86 | 4.85 | 76.37 | 43.71 | 7.99 | 9.9 |
| vq-wav2vec | 7 | 422 | 33.48 | 93.38 | 85.68 | 38.8 | 58.24 | 17.71 | 4.1 | 77.68 | 41.54 | 10.38 | 9.93 |
| APC | 5.8 | 392 | 41.98 | 91.01 | 74.69 | 60.42 | 59.33 | 21.28 | 3.1 | 70.46 | 50.89 | 8.56 | 10.53 |
| VQ-APC | 5.75 | 377 | 41.08 | 91.11 | 74.48 | 60.15 | 59.66 | 21.2 | 2.51 | 68.53 | 52.91 | 8.72 | 10.45 |
| NPC | 5.4 | 386 | 43.81 | 88.96 | 69.44 | 55.92 | 59.08 | 20.2 | 2.46 | 72.79 | 48.44 | 9.4 | 9.34 |

Benchmark : <https://github.com/s3prl/s3prl>

Leaderboard : <https://superbenchmark.org/>

SUPERB构建了衡量语音预训练模型效果的benchmark, 在语音识别、说话人识别、情感识别等十几个下游任务的公开数据集上面均有对应的结果。

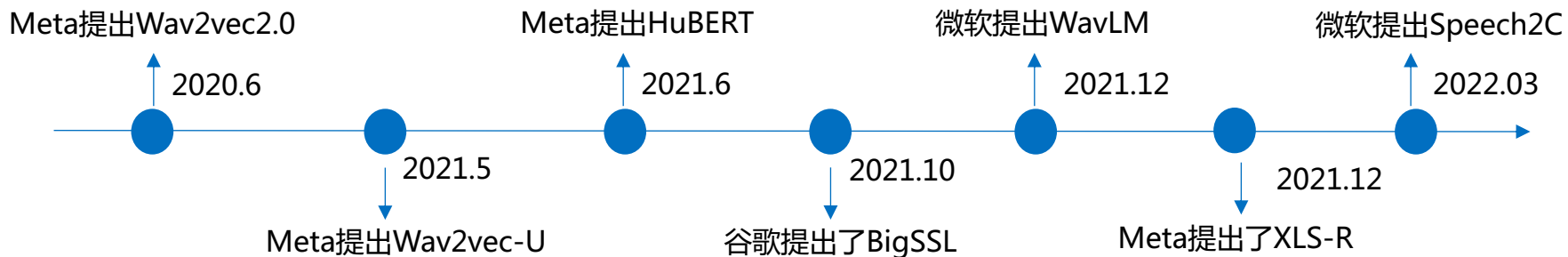
"Superb: Speech processing universal performance benchmark." *arXiv preprint arXiv:2105.01051 (2021).*

语音预训练小结

| 预训练模型 | 网络输入 | 网络结构 | loss | Inspired by |
|-------------|--------------|-----------------|----------------------|-------------|
| APC | fbank | RNN | L1 loss | GPT |
| MPC | fbank | transformer | MLM loss | BERT |
| Wav2vec | raw waveform | CNN | Contrastive loss | GPT |
| Vq-wav2vec | raw waveform | CNN+transformer | Contrastive+MLM loss | BERT |
| Wav2vec 2.0 | raw waveform | CNN+transformer | Contrastive loss | BERT |
| HuBERT | raw waveform | CNN+transformer | MLM loss | BERT |
| Speech2C | Raw waveform | CNN+transformer | Contrastive loss+MLE | BART |

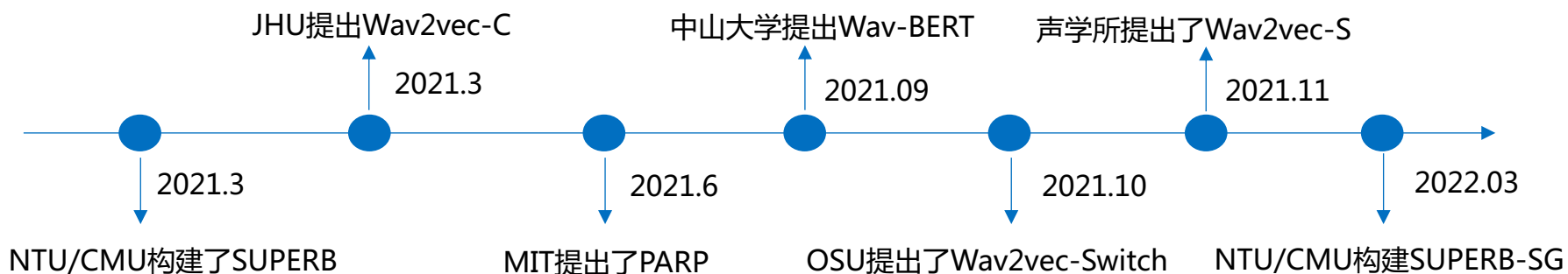
语音预训练小结

工业界



更大模型
更多数据
更难任务

学术界

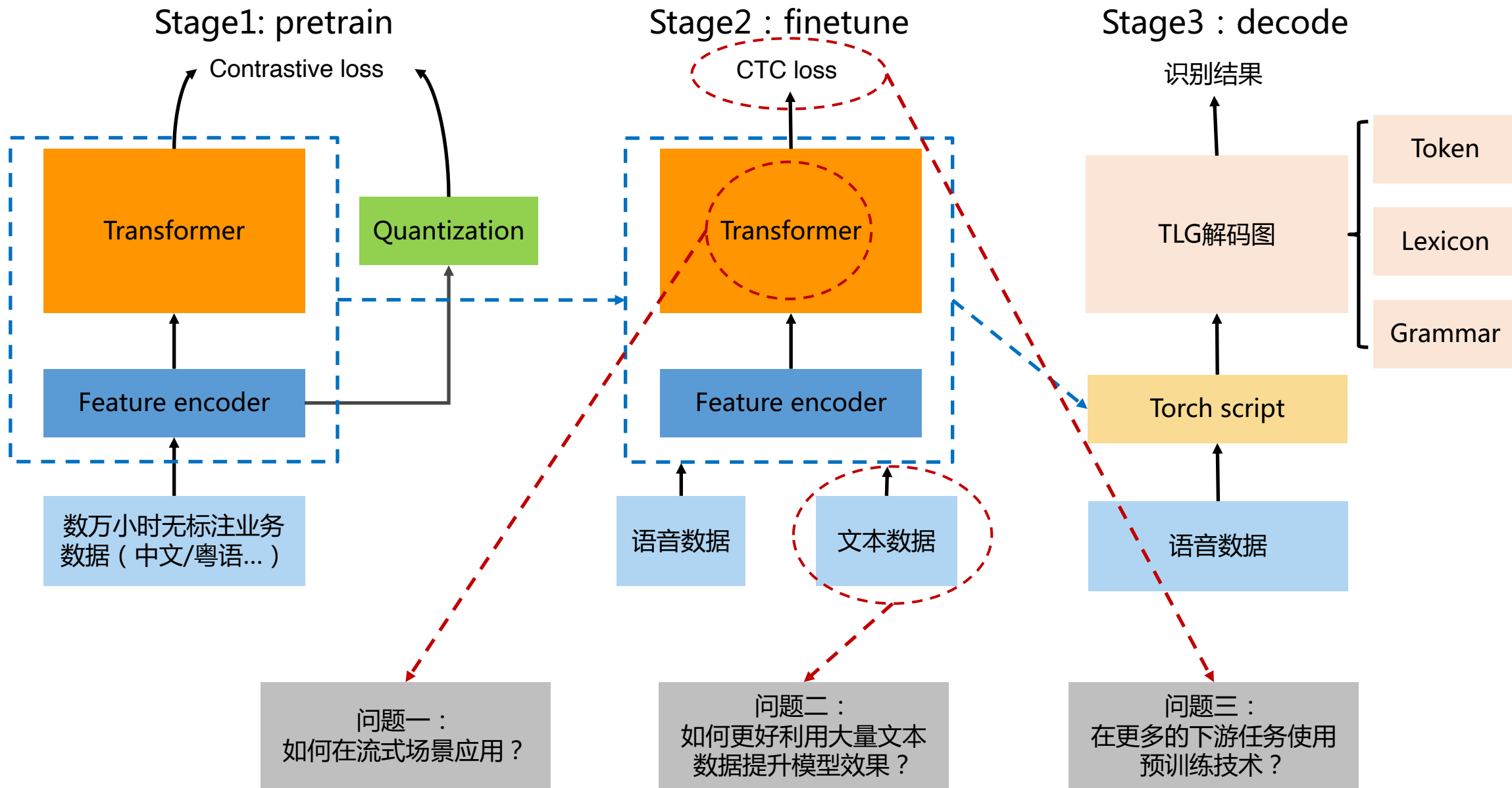


下游任务
应用问题

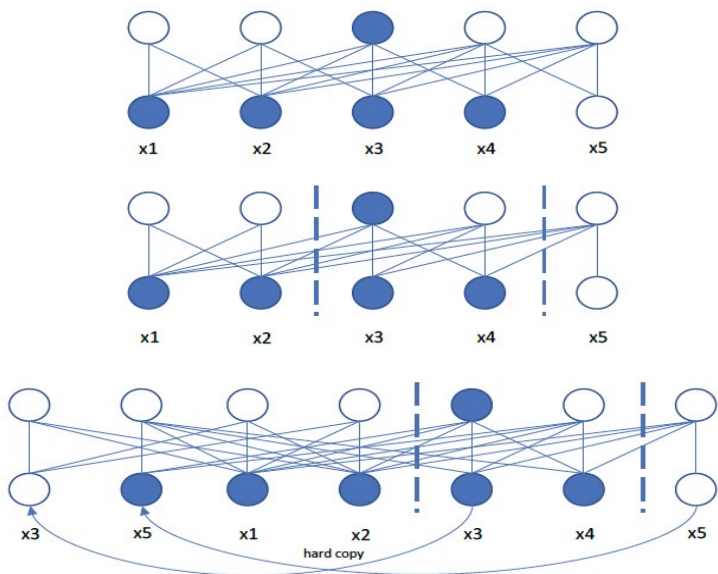
主要内容

- 一、语音识别简介
- 二、语音预训练技术
- 三、我们的进展和应用

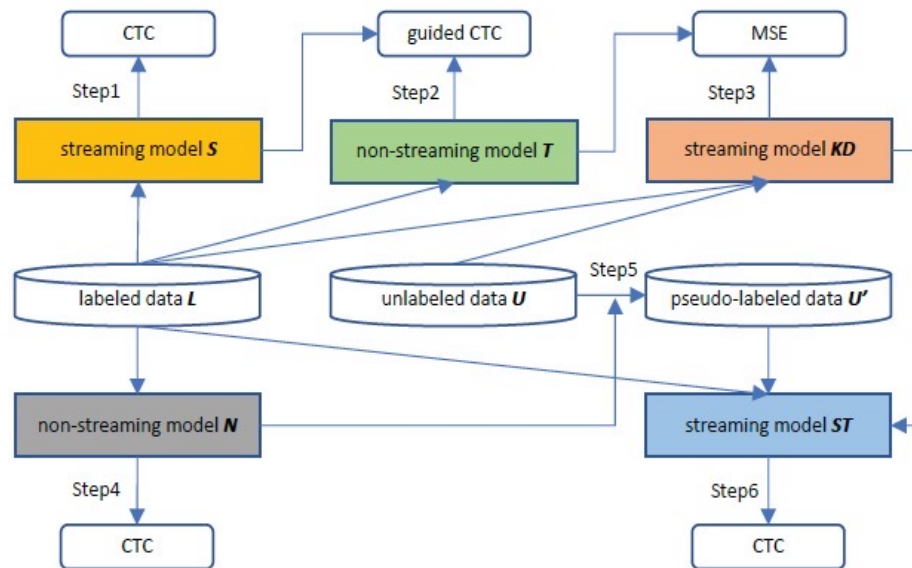
基于预训练的ASR技术方案



如何在流式场景应用？ - 网络流式改造



三种基于不同mask机制的流式方案



two-stage算法流程图

问题背景：

- 非流式语音识别是指模型在用户说完一句话或一段话之后再行识别（离线转写场景）；流式语音识别是指用户还在说话的时候便同步进行语音识别（助手场景）
- 语音预训练模型一般只适用于非流式语音识别，而无法应用在流式识别场景

算法创新：

- 提出在fine-tune阶段通过引入不同的mask机制来实现流式transformer网络结构
- 提出了基于self-training和knowledge distillation的两阶段的训练算法，其中蒸馏通过非流式模型和流式模型的多个隐层的输出计算MSE loss来实现

如何在流式场景应用？ - 网络流式改造

Table 2: WER results of streaming transformer based models whose EIL is fixed at 480 ms. N3 indicates bidirectional transformer, S1 indicates Time-restricted Transformer, S2 indicates Chunk Transformer, S3 and S4 indicate Block Transformer. C and F are the chunk size and future size (in millisecond).

| Model | C | F | dev | | test | |
|-------|-----|-----|-------|-------|-------|-------|
| | | | clean | other | clean | other |
| N3 | - | - | 2.9 | 8.5 | 3.5 | 8.4 |
| S1 | - | - | 3.9 | 13.0 | 4.4 | 13.0 |
| S2 | 960 | 0 | 3.5 | 11.4 | 3.9 | 11.4 |
| S3 | 480 | 240 | 3.4 | 10.5 | 3.9 | 10.6 |
| S4 | 240 | 360 | 3.5 | 10.3 | 3.9 | 10.4 |

不同流式方案的结果

实验设置：

- Pre-train使用Librispeech 960h数据， Fine-tune使用clean-100h数据
- 解码使用开源的Librispeech语言模型

实验结果：

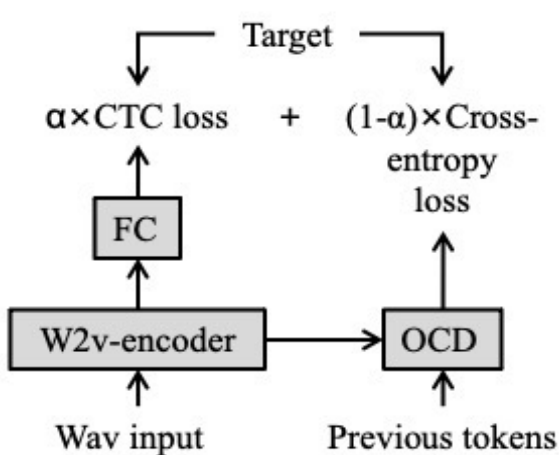
- 不同的流式方案的引入，都会带来比较大的性能下降（N3->S4）
- 相比S4的基线，提出的two-stage算法S7在test-other测试集取得了相对15%的相对提升，大幅缩小了流式场景和非流式场景（N3）的gap

Table 3: WER results of knowledge distillation and self-training. KD indicates knowledge distillation and ST indicates self-training.

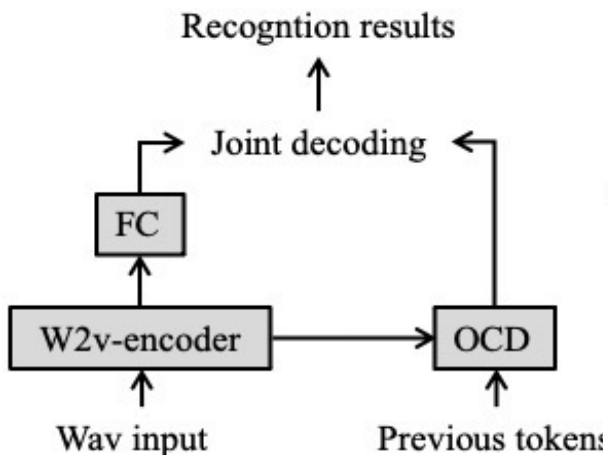
| Model | KD | ST | dev | | test | |
|-------|----|----|-------|-------|-------|-------|
| | | | clean | other | clean | other |
| N1 | - | - | 2.9 | 8.1 | 3.3 | 8.1 |
| N4 | N | Y | 2.9 | 7.4 | 3.2 | 7.6 |
| S4 | - | - | 3.5 | 10.3 | 3.9 | 10.4 |
| S5 | Y | N | 3.3 | 9.6 | 3.7 | 9.8 |
| S6 | N | Y | 3.3 | 8.6 | 3.6 | 8.9 |
| S7 | Y | Y | 3.2 | 8.5 | 3.5 | 8.7 |

two-stage算法的效果

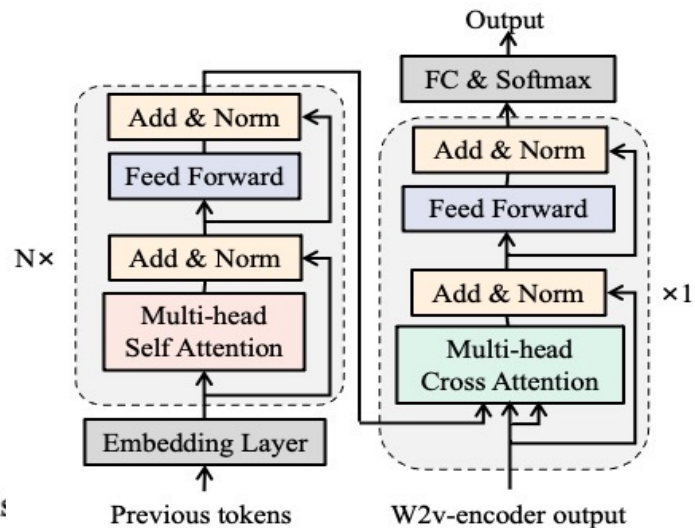
如何更好利用文本数据？ - Preformer



训练阶段



解码阶段



OCD的详细结构设计

问题背景：

通常把语义预训练模型和语音预训练模型看做两个独立的模块，ASR系统一般会在实际解码的过程中把语义预训练模型（比如BERT/GPT）当做LM来使用，这种shallow fusion的融合方式比较简单，取到的效果相对有限。

算法创新：

我们提出了一种OCD(one-cross decoder)的网络结构，在声学模型的训练阶段成功将两个模态的预训练模型进行了融合，其中encoder部分使用wav2vec2.0，decoder部分使用GPT模型

如何更好利用文本数据？ - Preformer

Table 3. The CER (%) of our ASR models with different decoders on the AISHELL-1 corpus.

| ASR Model | Encoder | Decoder | CER | |
|-----------|-------------|-------------|------------|------------|
| | | | dev | test |
| baseline | Transformer | Transformer | 5.9 | 6.3 |
| proposed | Transformer | OCD | 5.1 | 5.6 |
| proposed | Transformer | OCD-1 | 5.2 | 5.7 |
| proposed | Transformer | OCD-3 | 5.2 | 5.7 |
| proposed | Transformer | OCD-all | 5.3 | 5.7 |
| Preformer | w2v-encoder | OCD | 4.3 | 4.6 |
| Preformer | w2v-encoder | OCD-1 | 4.5 | 4.9 |
| Preformer | w2v-encoder | OCD-3 | 4.7 | 5.0 |
| Preformer | w2v-encoder | OCD-all | 4.7 | 5.1 |
| proposed | w2v-encoder | TCD | 4.3 | 4.6 |
| proposed | w2v-encoder | OCD-no-init | 4.9 | 5.2 |

Table 1. Details of the ASR models' parameter number.

| ASR Model | Encoder | Decoder | CTC Branch | Total |
|-----------|---------|---------|------------|--------|
| baseline | 101.6M | 63.2M | 3.3M | 168.1M |
| Preformer | 94.4M | 61.0M | 3.3M | 158.7M |

Table 5. The CER (%) of our ASR models with different ways of using the DistilGPT2 on the AISHELL-1 corpus.

| ASR | Encoder | Decoder | LM | CER | |
|-----------|-------------|-------------|------------|------------|------------|
| | | | | dev | test |
| baseline | Transformer | Transformer | vanilla | 5.9 | 6.3 |
| baseline | Transformer | Transformer | DistilGPT2 | 5.3 | 5.7 |
| proposed | Transformer | OCD | vanilla | 5.1 | 5.6 |
| proposed | Transformer | OCD | DistilGPT2 | 4.8 | 5.2 |
| Preformer | w2v-encoder | OCD | vanilla | 4.3 | 4.6 |
| Preformer | w2v-encoder | OCD | DistilGPT2 | 3.9 | 4.2 |

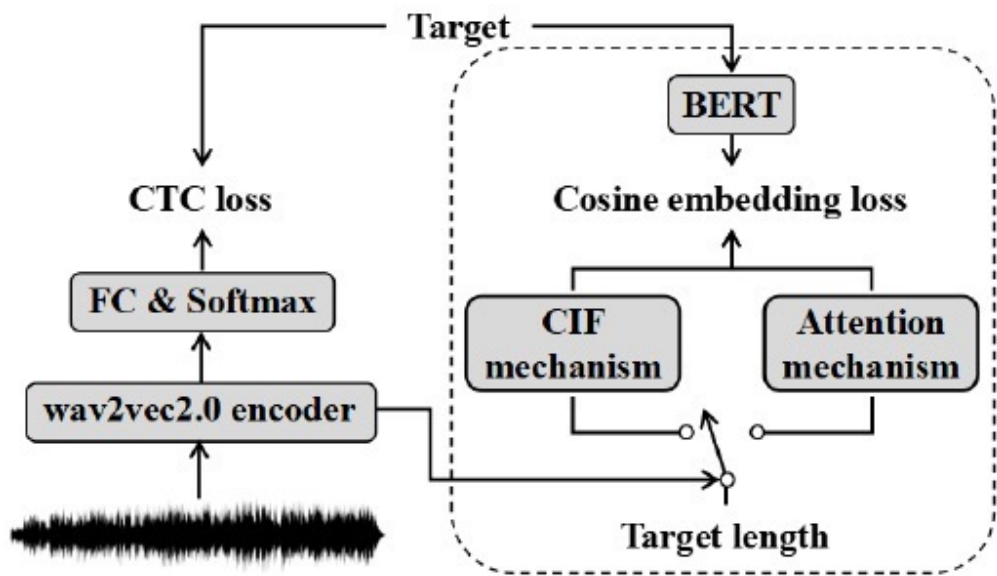
实验设置：

- Pre-train：使用AISHELL-2数据训练wav2vec2.0模型，使用开源的GPT中文模型
- Fine-tune：使用AISHELL-1数据集

实验结果：

- Table1：在参数量不增加的情况下，Preformer相比baseline获得20%相对提升
- Table3：OCD-n表示GPT最后n层可以训练，从结果来看全部固定结果最好
- Table5：在Preformer基础上，在解码阶段引入GPT，还可以进一步提升最终的识别效果

如何更好利用文本数据？ - KT-RL-CIF



KT-RL-CIF算法示意图

$$w_m = \text{sigmoid}(\max(\text{FC}(\mathbf{h}_m))),$$

$$\hat{w}_m = \frac{w_m}{\sum_{m=1}^M w_m} N,$$

$$\mathbf{l}_n = \sum_{m=t_n}^{t_{n+1}} \hat{w}_m \cdot \mathbf{h}_m,$$

$$\mathcal{L}_{cos} = k \cdot \sum_{n=0}^N (1 - \cos(\mathbf{l}_n, \mathbf{e}_n)),$$

\mathbf{h}_m : 模型encoder输出的隐向量

\mathbf{l}_n : CIF机制获取的语音模态向量

\mathbf{e}_n : BERT获取的语义模态向量

N : 语音对应文本的长度

CIF算法计算流程

问题背景：

- 前面提出的Preformer模型虽然取得了比较明显的提升，但是在解码的过程中存在参数量比较大的问题，不方便实际落地

算法创新：

- KT-RL-CIF只在模型训练阶段引入BERT模型，通过CIF机制进行连接，而在实际解码过程把BERT去掉
- 训练过程中通过cosine embedding loss把BERT的语义表征能力向声学模型迁移

如何更好利用文本数据？ - KT-RL-CIF

Table 2. The CERs (%) of our ASR system with different structures for knowledge transferring based on representation learning on the AISHELL-1 corpus.

| ASR Model | Aux Loss | With LM | | No LM | |
|---------------------------|----------|------------|------------|------------|------------|
| | | dev | test | dev | test |
| Vanilla w2v2.0 CTC | - | 4.5 | 4.9 | 5.1 | 5.6 |
| KT-RL-CIF based on w2v2.0 | Cosine | 4.1 | 4.2 | 4.3 | 4.7 |
| KT-RL-CIF based on w2v2.0 | MSE | 4.4 | 4.7 | 4.8 | 5.1 |
| KT-RL-ATT based on w2v2.0 | Cosine | 4.2 | 4.5 | 4.6 | 4.8 |

Table 5. The CER (%) of our ASR system using different pre-trained LM on the AISHELL-1 corpus, which is decoded with external LM.

| ASR Model | dev | test |
|---|------------|------------|
| Vanilla w2v2.0 CTC | 4.5 | 4.9 |
| KT-RL-CIF based on w2v2.0 (using BERT) | 4.1 | 4.2 |
| KT-RL-CIF based on w2v2.0 (using GPT2) | 4.2 | 4.5 |
| KT-CL based on w2v2.0 (using GPT2) | 4.4 | 4.6 |
| KT-CL based on w2v2.0 (using unidirectional BERT) | 4.4 | 4.7 |

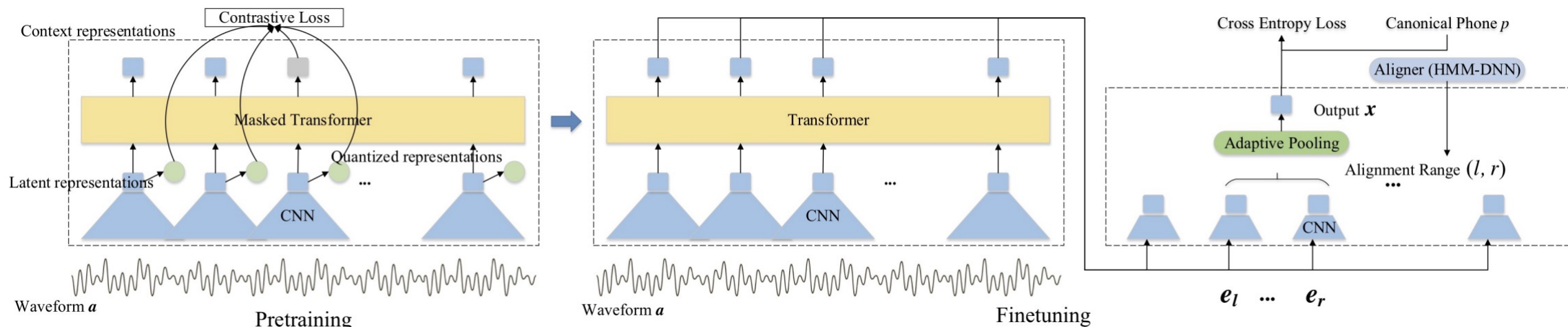
实验设置：

- Pre-train：使用AISHELL-2数据训练wav2vec2.0模型，使用开源的GPT/BERT中文模型
- Fine-tune：使用AISHELL-1数据集

算法结果：

- KT-RL-CIF模型大幅优于base模型，不仅识别效果优于前面的Preformer，而且参数量更少
- Table2对比发现Cosine loss优于MSE，一种解释是对于字向量的相似度评价而言夹角更为重要
- Table2对比发现连接机制使用CIF（KT-RL-CIF），相比传统的Attention（KT-RL-ATT）更优
- Table5给出了使用不同的语义预训练模型的差异，在KT-RL-CIF框架下面BERT优于GPT

更多的下游任务？ - 口语评测



问题背景：

- MD (Mispronunciation Detection) 任务一般应用于口语考试等业务场景，存在标注数据难以获取、数据标注困难等问题。

算法创新：

- 我们首先尝试将语音预训练技术应用到该任务，pre-train阶段使用公开英文语音数据，fine-tune阶段使用很少量的标注好的non-native语音数据
- Fine-tune阶段新增CNN和Adaptive Pooling层，同时将传统MD任务的音素识别任务转化为二分类问题（发音错误-1，发音正确-0）

更多的下游任务？ - 口语评测

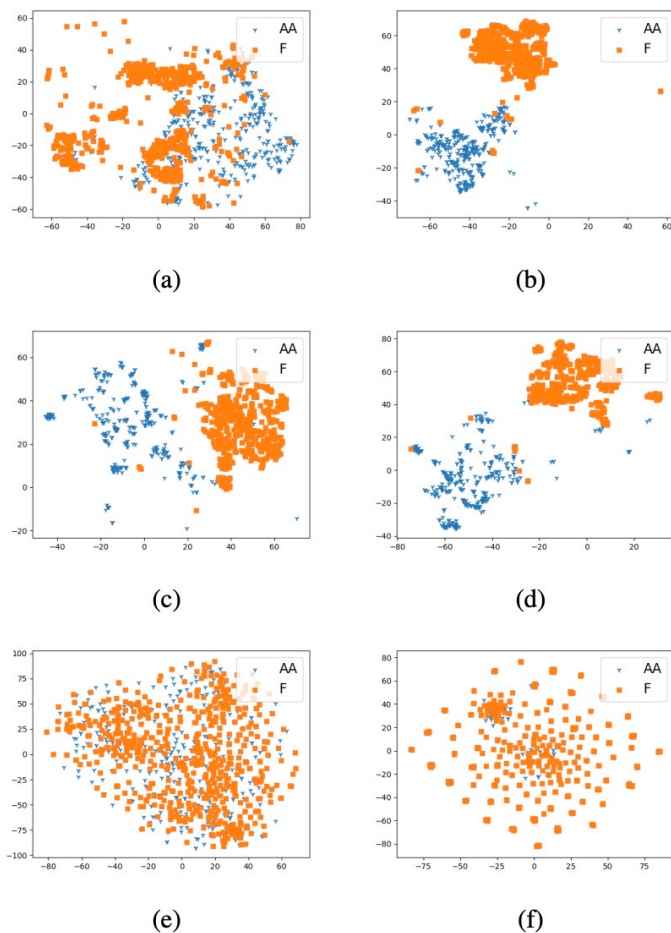


Figure 3: Visualizations of the representations. (a), (c) and (e) refer to the visualizations of Proposed-SS, Proposed-ASR and Proposed-DL respectively before the finetuning, while (b), (d) and (f) are the visualizations of Proposed-SS, Proposed-ASR and Proposed-DL respectively after the finetuning.

Table 2: Performance on different methods on L2-ARCTIC test set.

| | Precision | Recall | F1 | FAR | FRR |
|--------------|--------------|--------------|--------------|--------------|--------------|
| LPP | 0.566 | 0.602 | 0.583 | 0.398 | 0.080 |
| Trans-GOP | 0.464 | 0.583 | 0.517 | 0.417 | 0.116 |
| Proposed-ASR | 0.538 | 0.681 | 0.602 | 0.319 | 0.101 |
| Proposed-SS | 0.580 | 0.643 | 0.610 | 0.357 | 0.080 |
| Proposed-CTC | 0.514 | 0.550 | 0.531 | 0.450 | 0.083 |

实验设置：

- Pre-train使用960小时的Librispeech数据集， Fine-tune使3小时的L2-ARCTIC数据集
- Proposed-SS：使用预训练模型初始化
- Proposed-ASR：使用ASR模型初始化
- Proposed-DL/CTC：没有初始化

实验结果：

- Table2：预训练方案优于传统的技术方案LPP/Trans-GOP
- Figure3：预训练模型对于phone具有明显的区分度

更多的下游任务？ - 口音语音识别

| 口音种类 | British | America | China | Japan | Russia | India | Portugal | Korea | ALL |
|-------------|---------|---------|-------|-------|--------|-------|----------|-------|------|
| 官方 baseline | 10.06 | 9.96 | 11.77 | 6.79 | 5.26 | 10.05 | 7.45 | 7.69 | 8.63 |
| 语音预训练技术方案 | 4.81 | 4.06 | 7.09 | 4.51 | 4.44 | 4.22 | 3.73 | 2.55 | 4.42 |

任务背景：

- INTERSPEECH2020举办英文口音语音识别比赛，共有8种不同类型英文口音，每种口音对应的训练数据只有20小时，合计160小时

技术方案：

- 首次将自监督语音识别技术方案应用到这个低资源任务上面，pre-train阶段使用了960小时的Librispeech英文数据，fine-tune阶段使用160小时的口音英文数据

算法结果：

- 我们在该任务取得了第一名的成绩，同时相关算法成果发表在INTERSPEECH2021会议上面

更多的下游任务？ - 方言识别

| 模型 | Pre-train | Fine-tune | 测试集 (CER) |
|--------------|------------|-----------|-----------|
| 竞品1 | - | - | 16.0 |
| 竞品2 | - | - | 17.3 |
| From-scratch | - | 100小时标注 | 23.2 |
| 预训练方案 | 40000小时无标注 | 100小时标注 | 15.2 |

任务背景：

- 业务侧有方言识别的需求，我们需要从零到一建设这种方言识别的能力，面临最大的挑战就是缺少对应的标注数据。

技术方案：

- 我们尝试将已有的预训练模型方案用在该任务上，只用了100小时的标注数据就取得了超过竞品的效果，相比于之前动辄几千小时标注数据的任务，大幅降低了数据标注的成本。

应用启发：

- 结合预训练技术，可以大幅减少对标注数据的依赖，降低数据标注的成本，可以快速实现技术能力的落地。

语音预训练总结

业务支持

车载语音助手

智能客服

口语考试

技术能力

口音语音识别

方言识别

口语评测

小语种识别

技术底座



Q&A